

Journal of Electrochemistry

Volume 17 | Issue 4

2011-11-28

Electrochemical Studies on Surface Inclusion of β -Cyclodextrin with Adriamycin

Jian SHI

Qi-Ping ZHANG

Nan-Ping WANG

Recommended Citation

Jian SHI, Qi-Ping ZHANG, Nan-Ping WANG. Electrochemical Studies on Surface Inclusion of β -Cyclodextrin with Adriamycin[J]. *Journal of Electrochemistry*, 2011 , 17(4): Article 14.

DOI: 10.61558/2993-074X.2867

Available at: <https://jelectrochem.xmu.edu.cn/journal/vol17/iss4/14>

This Article is brought to you for free and open access by Journal of Electrochemistry. It has been accepted for inclusion in Journal of Electrochemistry by an authorized editor of Journal of Electrochemistry.

文章编号:1006-3471(2011)04-0433-05

β -环糊精与阿霉素表面包络作用的电化学研究

石 健, 张其平, 王南平*

(南通大学化学化工学院, 江苏 南通 226007)

摘要: 研究了阿霉素(ADM)在 β -环糊精(β -CD)修饰金电极上(β -CD/Au)的电化学行为。结果表明, ADM 在 β -CD/Au 电极上发生表面包络反应。25 °C, pH = 7.0 时, 该电极表面包络常数为 $9.54 \times 10^4 \text{ L} \cdot \text{mol}^{-1}$, 并随温度呈规律性变化, 最适宜反应温度为 30 °C。该电极 ADM 包络呈准可逆的电化学反应, 速率常数为 0.0995 s^{-1} 。在 $20 \sim 40 \mu\text{mol} \cdot \text{L}^{-1}$ 浓度范围 β -CD/Au 电极 ADM 的还原峰电流与浓度呈线性关系, 线性方程 $I_p = 2.024 + 0.0057 C$, 相关系数 0.9911, 检出限 $6.5 \mu\text{mol} \cdot \text{L}^{-1}$ 。

关键词: 阿霉素; β -环糊精; 修饰电极; 包络

中图分类号: R917

文献标识码: A

阿霉素(adriamycin, ADM)是广谱抗肿瘤药物, 抗癌活性高, 对白血病、肺癌、乳腺癌及恶性淋巴瘤等均有很好的疗效。但由于它有心脏毒性、基因毒性和生殖器官毒性, 服用后有突发性心动过速、呼吸困难、恶心、呕吐、腹痛、腹泻、口腔溃疡和肝功能障碍等不良反应, 致使其生物利用度不高, 限制了临床应用^[1]。 β -CD 有“内疏水, 外亲水”的结构特征, 其适宜的疏水空腔, 能将疏水药物包结形成超分子, 从而改善药物分子的水溶性、稳定性、生物利用度及控制药物的释放, 甚至消除药物的异味。 β -CD 本身无毒, 被广泛用于医疗、食品行业^[2-4]。由此预料, 研究 β -CD 与 ADM 表面包络很有可能为提高 ADM 的生物利用度及降低其临床应用上的不良反应提供可信依据, 并以期建立 ADM 微量检测方法。

ADM 检测有紫外分光光度法、高效液相色谱法和荧光光谱分析法等^[5-7]。电化学分析法, 具有操作简单、快速、精密度高等特点, 在药物定量分析中日益显现出广泛的应用前景^[8-9]。已有文献报道某些电活性药物分子与 β -CD 的相互作用^[10-12], 但有关 ADM 在 β -CD/Au 电极上的电化学行为至今未见报道, 本文就此进行研究。

1 材料与方法

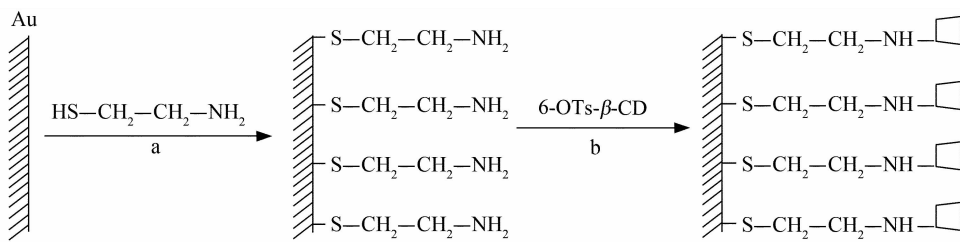
1.1 仪器和试剂

CHI660A 电化学工作站(上海辰华); β -CD(上海生化, 分析纯); ADM(浙江椒江药业, 注射用针剂); 半胱胺(AET, Alfa Aesar 公司, 98%); 其他试剂均为分析纯。 β -CD 两次重结晶; 对甲苯磺酰氯(氯仿-环己烷重结晶), 对甲苯磺酸基 β -CD(OTs- β -CD)按文献[13]的方法制备。实验溶液用去离子二次蒸馏水配制。

1.2 工作电极的制备

金电极($\phi 2.0 \text{ mm}$)用 0.3 和 $0.05 \mu\text{m}$ Al_2O_3 依次抛光至镜面, 在蒸馏水和乙醇中各超声清洗 3 次(5 min/次), 然后放入 $0.1 \text{ mol} \cdot \text{L}^{-1}$ H_2SO_4 溶液, 于 $1.8 \sim 0.2 \text{ V}$ 电位区间连续扫描 10 次以上。再将电极浸在浓硫酸与 H_2O_2 为 7:3 (by volume) 的混合液中, 15 min 后取出, 蒸馏水、乙醇中各超声清洗 3 次(5 min/次), 干燥后得裸金电极。用分步组装法制备 β -CD 修饰电极^[14], 原理如图 1 所示。

将处理好的金电极浸入已除氧的 $1.0 \text{ mmol} \cdot \text{L}^{-1}$ 的 AET 乙醇溶液中, 控制温度 $10 \sim 15 \text{ }^\circ\text{C}$, 停留 12 h 以上, 取出后立即浸入已除氧的 $0.1 \text{ mmol} \cdot \text{L}^{-1}$ OTs- β -CD 水溶液, 在 $80 \text{ }^\circ\text{C}$ 水浴中反应 48 h 以上, 之后用蒸馏水冲洗除去表面物理吸附

图 1 金电极上组装 β -CD 原理Fig. 1 Assembly of β -CD on a gold electrode

的 β -CD 和 AET, 得 β -CD 单层修饰电极. 应用循环伏安法在 $1.0 \text{ mmol} \cdot \text{L}^{-1}$ 的 $\text{K}_3[\text{Fe}(\text{CN})_6]$ 溶液表征该电极, 结果与文献报道的一致^[14], 表明 β -CD 已经修饰到金电极上.

1.3 电化学测试

三电极体系以 Au 或 β -CD/Au 为工作电极, 饱和甘汞为参比电极, 铂为对电极. 电解液由 20% (by volume) 甲醇 + $10 \text{ mmol} \cdot \text{L}^{-1}$ 磷酸盐缓冲溶液 ($\text{pH} = 7.0$) 或 ADM 溶液组成. 循环伏安测试实验前, 通高纯氮气 15 min 除 O_2 , 测定过程保持氮气气氛.

2 结果与讨论

2.1 ADM 的循环伏安曲线和反应动力学

图 2 示出 25°C 时 Au 和 β -CD/Au 电极在 20% (by volume) 甲醇 + $0.08 \text{ mmol} \cdot \text{L}^{-1}$ ADM + $10 \text{ mmol} \cdot \text{L}^{-1}$ 磷酸盐缓冲溶液 ($\text{pH} = 7.0$) 中的循环伏安曲线. 由图可见, 曲线 a 出现一不对称的氧化还原峰, 分别位于 -0.60 和 -0.70 V 处, 峰电流各为 -0.5 和 $8.5 \mu\text{A}$. 说明 ADM 在 Au 电极上的电化学反应是准可逆的. 同样, β -CD/Au 电极(曲线 b)也显示一准可逆的氧化还原峰, 其峰电位分别为 -0.59 和 -0.65 V , 峰电流各为 -1.0 和 $12.0 \mu\text{A}$. 与 Au 电极相比, 前者氧化峰电位正移 10 mV , 而还原峰电位正移了 50 mV , 且还原峰电流显著上升, 峰面积增大. 原因是吸附在 β -CD/Au 电极表面的 ADM, 进入 β -CD 空腔内发生氧化还原反应, 加速了 ADM 的电子转移^[11-12, 15].

图 3 给出 β -CD/Au 电极 (25°C , $\text{pH} = 7.0$) ADM 的还原峰电流 ~ 扫描速率变化曲线. 由图可见, 其还原峰电流与扫速呈线性关系 (A), 然而与扫速的平方根不呈线性关系 (B), 表明在 β -CD/Au 电极上 ADM 与 β -CD 的络合受表面过程控制^[8, 18].

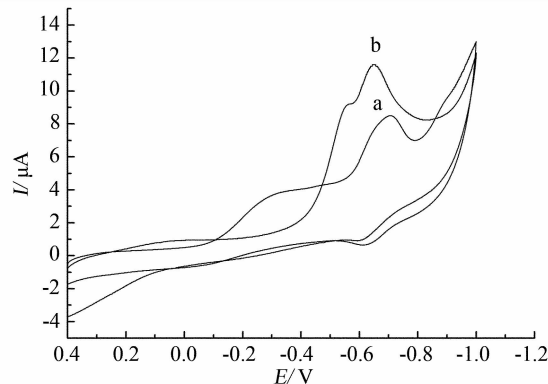
图 2 Au 电极(a)和 β -CD/Au 电极(b)的循环伏安曲线
(20% (by volume) 甲醇 + $0.08 \text{ mmol} \cdot \text{L}^{-1}$ ADM + $10 \text{ mmol} \cdot \text{L}^{-1}$ 磷酸盐缓冲溶液 ($\text{pH} = 7.0$), 扫速 $100 \text{ mV} \cdot \text{s}^{-1}$)

Fig. 2 Cyclic voltammograms of the bare (a) and β -CD modified (b) Au electrode ($0.08 \text{ mmol} \cdot \text{L}^{-1}$ ADM in $10 \text{ mmol} \cdot \text{L}^{-1}$ phosphate buffer solution with 20% methanol, 25°C , $\text{pH} = 7.0$, scan rate: $100 \text{ mV} \cdot \text{s}^{-1}$)

对不可逆的电化学反应, 其 E_p 与扫速的关系式^[19]为

$$E_p = E^0 + \frac{RT}{\alpha nF} \ln k^0 - \frac{RT}{\alpha nF} \ln \nu \quad (1)$$

式中 E_p 峰电位, E^0 为量电位. k^0 反应速率常数, ν 扫描速率, α 电荷传递系数, n 反应电子数. 根据实验 E_p 随扫速变化, 得其线性方程 $E_p = -0.761 - 0.0346 \ln \nu$, 相关系数 0.9902, 直线斜率 $-\frac{RT}{\alpha nF} = -0.0346$, 截距 -0.761 V . 由斜率求得 $\alpha n = 0.74$. 因 ADM 的蒽醌基为 2 电子还原^[8], 即 $n = 2$, 所以 $\alpha = 0.37 (25^\circ\text{C})$. 由 E_p 与 ν 的曲线外推可得 $E^0 = -0.681 \text{ V}$, 25°C 时, 该电极表面吸附反应的速率常数 $k^0 = 0.0995 \text{ s}^{-1}$. k^0 较小, 该电极反应的不可逆程度较高.

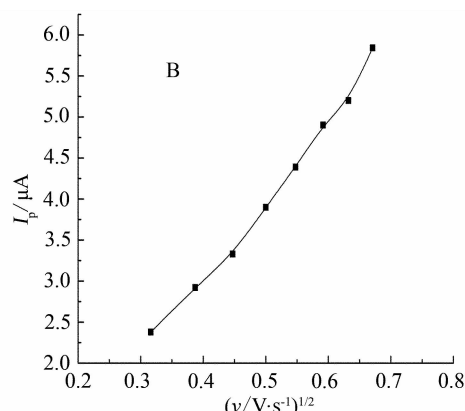
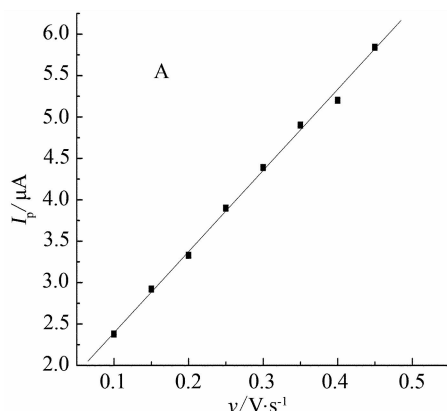


图3 β -CD/Au电极ADM还原峰电流~扫速曲线($25\text{ }^{\circ}\text{C}$, $\text{pH} = 7.0$)

Fig. 3 Plots for the cathodic peak current of ADM vs scan rate (A) or the square root of scan rate (B) ($25\text{ }^{\circ}\text{C}$, $\text{pH} = 7.0$)

2.2 ADM 表面包络、线性范围和检出下限

实验表明,在pH值 $2.0\sim 8.0$ 范围内,ADM还原峰电流先随pH值增加而升高,并在pH 6.8左右达到最大,之后下降。故选取pH=7.0的磷酸盐缓冲液为介质。

图4为ADM($25\text{ }^{\circ}\text{C}$, $\text{pH} = 7.0$) β -CD/Au电极的还原峰电流~浓度变化曲线。由图可见,当ADM浓度 $<0.04\text{ mmol} \cdot \text{L}^{-1}$ 时,ADM峰电流与浓度呈线性关系。浓度 $>0.06\text{ mmol} \cdot \text{L}^{-1}$ 时,该峰电流趋于定值,此时 β -CD单元与ADM的包络反应已达到饱和,该曲线形状与Langmiur单层等温吸附线相似^[15-17]:

$$\frac{C_{\text{ADM}}^0}{I_p} = \frac{1}{kI_{\max}} + \frac{C_{\text{ADM}}^0}{I_{\max}} \quad (2)$$

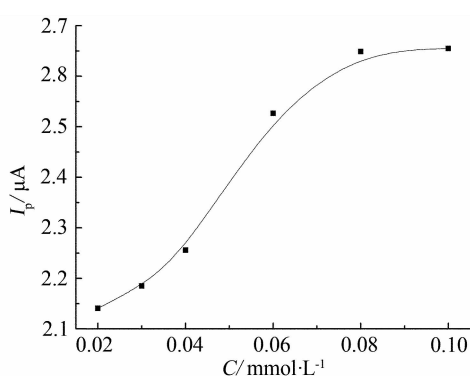


图4 β -CD/Au电极ADM还原峰电流~浓度曲线(扫速 $100\text{ mV} \cdot \text{s}^{-1}$)

Fig. 4 Variations of the cathodic peak current of ADM at β -CD modified Au electrode with the concentrations of ADM ($25\text{ }^{\circ}\text{C}$, solution pH = 7.0, scan rate: $100\text{ mV} \cdot \text{s}^{-1}$)

式中 I_p ADM初始浓度(C_{ADM}^0)的峰电流, I_{\max} 最大峰电流, k 为ADM与 β -CD的表面包络常数。在给定浓度范围内,以 C_{ADM}^0/I_p 与 C_{ADM}^0 作图得一直线(图5)。由直线斜率及其截距估算,得表面包络常数为 $9.54 \times 10^4\text{ L} \cdot \text{mol}^{-1}$,图中线性关系良好,表明电极上ADM与 β -CD达到1:1包络平衡^[15-17]。

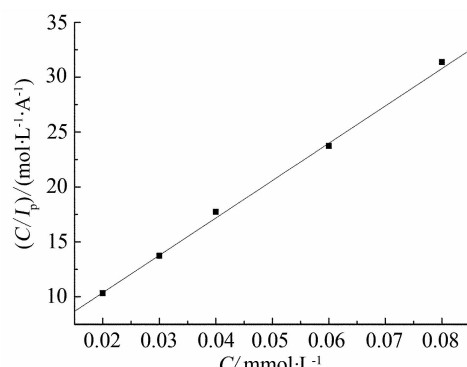


图5 β -CD/Au电极ADM等温吸附曲线(扫速 $100\text{ mV} \cdot \text{s}^{-1}$)

Fig. 5 The adsorption isotherm of ADM at β -CD modified Au electrode ($25\text{ }^{\circ}\text{C}$, solution pH = 7.0, scan rate: $100\text{ mV} \cdot \text{s}^{-1}$)

表1列出不同温度下ADM与 β -CD的包络常数。可以看出,其表面包络反应与温度有关。当温度 $<30\text{ }^{\circ}\text{C}$ 时,该包络常数随着温度上升而增大,温度升高反而减小。以上温度的影响有热力学因素和动力学因素,温度升高,溶液中分子的扩散速率增大,利于电极表面包络反应,但对放热反应不利。荧光光谱法研究表明, β -CD与ADM的相互作用属放热反应^[18]。温度 $<30\text{ }^{\circ}\text{C}$ 时,动力学因素起主导作用;而温度 $>30\text{ }^{\circ}\text{C}$ 时,热力学因素起主导作用;

用。故 β -CD 与 ADM 的表面包络反应选取 30 ℃为宜。

表 1 不同温度下 ADM 与 β -CD 的包络常数
(pH = 7.0, 扫速 100 mV · s⁻¹)

Tab. 1 The inclusion constants k of ADM and β -CD at different temperatures (pH = 7.0, scan rate: 100 mV · s⁻¹)

$t/^\circ\text{C}$	25	28	30	33	35	38	40
$k/10^5 \text{ L} \cdot \text{mol}^{-1}$	0.95	2.03	2.91	2.21	1.72	1.17	0.81

β -CD/Au 电极 (pH = 7.0, 25 ℃) 上 ADM 的还原峰电流与浓度在 20 ~ 40 $\mu\text{mol} \cdot \text{L}^{-1}$ 的浓度范围内呈良好的线性关系, 线性方程: $I_p = 2.024 + 0.0057 C$, I_p ADM 还原峰电流 (μA), C_{ADM} 浓度 ($\mu\text{mol} \cdot \text{L}^{-1}$); 相关系数 0.9911, 检出下限 6.5 $\mu\text{mol} \cdot \text{L}^{-1}$ 。

3 结 论

β -CD/Au 电极 ADM 发生表面包络反应, 其表面包络常数随温度呈规律性变化, 反应温度选取 30 ℃为宜。该电极发生 ADM 准可逆的表面包络反应, 反应受表面吸附过程控制, 速率常数 $k^0 = 0.0995 \text{ s}^{-1}$, 在 20 ~ 40 $\mu\text{mol} \cdot \text{L}^{-1}$ 浓度范围, ADM 还原峰电流与浓度呈线性关系, 检出下限为 6.5 $\mu\text{mol} \cdot \text{L}^{-1}$ 。

参考文献(References):

- [1] Wang R L(王汝龙), Yan Z P(原正平). Drug(化工产品手册: 药物) [M]. Beijing: Chemistry and Industry Press(化学工业出版社), 1999:264-265.
- [2] Tong L H(童林荟). Chemistry of cyclodextrin-base and application(环糊精化学-基础与应用) [M]. Beijing: Science Press(科学出版社), 2001:330-370.
- [3] Yan Yang(闫杨), Pei R H(裴若会), Yan H T(阎宏涛). Interaction between warfarin and bovine serum albumin detected by spectrometry [J]. Acta Pharmaceutica Sinica(药学学报), 2008, 43(12):1224-1227.
- [4] Emara S, Morita I, Tamura K, et al. Effect of cyclodextrins on the stability of adriamycin, adriamycinol, adriamycinone and daunomycin [J]. Talanta, 2000, 51(2): 359-364.
- [5] Hu Rong(胡蓉), Yang Qiong(杨琼), Zhang Shuran(张书然), et al. Fluorimetric analysis of certain an threacycline antibiotics [J]. Chinese Journal of Antibiotics (中国抗生素杂志), 2009, 34(7):411-415.
- [6] Zhang H Y(张洪妍), S P(沈朋), Luan L J(栾连军), et al. An approach to determination of the intracellular and extracellular concentrations of doxorubicin for MDR cancer cells [J]. Acta Chimica Sinica(化学学报), 2004, 62(12):1162-1166.
- [7] Liu Y M(刘奕明), Lin A H(林爱华), Deng S G(邓时贵), et al. LC-MS/MS determination of adriamycin in rabbit plasma [J]. Chinese Journal of Pharmaceutical Analysis(药物分析杂志), 2009, 29(8):1282-1286.
- [8] Gong L X(龚兰新), Wei C M(魏翠梅), Hu J B(胡劲波), et al. Electrochemical behaviour of the adriamycin on the cobalt nanoparticles modified ITO electrode [J]. Acta Pharmaceutica Sinica(药学学报), 2008, 43(3): 303-307.
- [9] Cheng H F(程红芬), Zhang Y(张勇), Song J Q(宋洁琼), et al. Interaction of the epirubicin hydrochloride with bovine serum albumin and its application [J]. Electrochemistry(电化学), 2011, 17(1):80-83.
- [10] Doile M M, Fortunato, K A, Schmuecker I C, et al. Physicochemical properties and dissolution studies of dexamethasone acetate- β -cyclodextrin inclusion complexes produced by different methods [J]. AAPS PharmSciTech, 2008, 9(1):314-321.
- [11] Dong S Y(董社英), Huang T L(黄廷林), Zhen J B(郑建斌), et al. Studies on interaction of atorvastatin calcium with β -cyclodextrin and its application [J]. Chemical Research In Chinese Universities(高等学校化学学报), 2005, 26(11):2023-2026.
- [12] Song J P, Guo Y J, Shuang S M, et al. Electrochemical behaviour of brilliant cresyl violet at multi-wall carbon nanotubes/Nafion modified glassy carbon electrode and its interaction with cyclodextrins [J]. Journal of Inclusion Phenomena and Macrocyclic Chemistry, 2009, 64(1/2):115-120.
- [13] Chen P F(陈培丰). Studies on the supermolecular mechanism of the tosylation of β -cyclodextrin [J]. Journal of Fujian Teachers University (Natural Science)(福建师范大学学报(自然科学版)), 2001, 17(2):50-53.
- [14] Wang N P(王南平), Zhang Y H(张跃华), Ge C W(葛存旺), et al. Assembly and characterization of the monolayer of β -cyclodextrin on a gold electrode [J]. Chemical Research and Application(化学研究与应用), 2003, 15(4):467-470.
- [15] Ju H X(鞠焜先), Dai Z(戴宗), Leech D. Electro-

- chemical determination of electroinactive guests of β -cyclodextrin at a self-assembled monolayer interface [J]. Science in China (Series B) (中国科学 B 辑), 2002, 32(1): 40-45.
- [16] Villalonga R, Fujii A, Shinohara H, et al. Supramolecular-mediated immobilization of L-phenylalanine dehydrogenase on cyclodextrin-coated Au electrodes for biosensor applications [J]. Biotechnology Letters, 2007, 29(3): 447-452.
- [17] Zhang Q P(张其平), Wang N P(王南平), Zhou L F(周丽芳), et al. Electrochemical quantitative detection of daunorubicin with gold electrode modified with SAM- β -CD [J]. Chinese Journal of Applied Chemistry (应用化学), 2009, 26(5): 602-606.
- [18] Zhang Y H(张跃华), Wang N P(王南平), Zhang Q P(张其平), et al. Fluorescence spectroscopic investigation of the interaction between β -Cyclodextrin and adriamycin [J]. Chinese Journal of Applied Chemistry (应用化学), 2011, 28(3): 343-348.
- [19] Bard A J, Faulkner L R. Electrochemical methods: fundamentals and applications (电化学方法原理及应用) [M]. Beijing: Chemical Industry Press (化学工业出版社), 1986: 597-600.

Electrochemical Studies on Surface Inclusion of β -Cyclodextrin with Adriamycin

SHI Jian, ZHANG Qi-ping, WANG Nan-ping*

(School of Chemistry and Chemical Engineering, Nantong University, Nantong 226007, Jiangsu, China)

Abstract: The β -cyclodextrin (β -CD) modified gold electrode (β -CD/Au) was fabricated to study the electrochemical behavior of adriamycin (ADM). The results indicated that the complexing reaction of ADM with β -CD took place at the β -CD/Au surface. At 25 °C, the complexing constant (k) was $9.54 \times 10^4 \text{ L} \cdot \text{mol}^{-1}$ in pH = 7.0. The k values changed regularly with temperature, and the most suitable temperature of the surface inclusion reaction was 30 °C. The complexing reaction of ADM with β -CD at the β -CD/Au surface could undergo the quasi-reversible electrochemical reaction with the rate constant being 0.0995 s^{-1} . The cathodic peak current (I_p) of ADM was proportional to the concentration of ADM in the $20 \sim 40 \mu\text{mol} \cdot \text{L}^{-1}$. The linear regression equation for the quantitative determination of ADM concentration (C) by β -CD/Au was $I_p = 2.024 + 0.0057C$ with a correlation coefficient of 0.9911. The detection limit was $6.5 \mu\text{mol} \cdot \text{L}^{-1}$.

Key words: adriamycin; β -cyclodextrin; modified electrode; complex